

بررسی رابطه تخلخل با حداکثر عمق آبشنکن‌های L شکل نفوذپذیر با زبانه به سمت بالادست و پایین دست در شرایط آب زلال

جلیل کرمان نژاد^{۱*}- منوچهر فتحی مقدم^۲- امیر احمد دهقانی^۳- محمود محمودیان^۴

تاریخ دریافت: ۸۹/۴/۲

تاریخ پذیرش: ۸۹/۱۰/۱۸

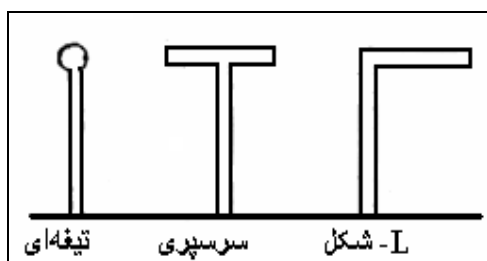
چکیده

آبشنکنها اینبهای هستند که در حفاظت دیواره و اصلاح مسیر رودخانه کاربرد دارند. مهمترین مشکل آبشنکن، آبشنستگی اطراف آن است که موجب شکست و واژگونی آبشنکن میگردد. تعیین عمق آبشنستگی به علت اینکه معرف میزان پتانسیل تخریب جریان در اطراف سازه بوده و همچنین پارامتری مهم در طراحی ابعاد فونداسیون سازه‌های مسیر جریان میباشد مهم است. با توجه به تحقیقات اندک در زمینه آبشنکن‌های L شکل و آبشنکن‌های باز، در این مطالعه به بررسی میزان آبشنستگی در این گونه آبشنکن‌ها پرداخته شده است. به همین منظور از گاییون ها توری-سنگی جهت ساخت آبشنکن باز استفاده شده و تاثیر میزان تخلخل گاییون بر آبشنستگی آبشنکن L با زبانه به سمت پایین دست بررسی شده است. نتایج نشان می‌دهد که به ازای تخلخل ۴۵-۵۰ درصد کمترین میزان آبشنستگی در اطراف آبشنکن با زبانه به سمت پایین دست و بیشترین آبشنستگی در اطراف آبشنکن با زبانه به سمت بالادست رخ میدهد.

واژه‌های کلیدی: آبشنکن L شکل، گاییون توری- سنگی، زبانه، آبشنستگی، آب زلال

مقدمه

خواهد شد. این جریان‌های گردابی به همراه تمرکز شدید سرعتها و آشفتگی در دماغه بالادست، مکانیزم اصلی آبشنستگی موضعی به حساب می‌آیند. ترکیب این فاکتورها منجر به برداشته شدن مواد بستر از حوالی تکیه‌گاه و توسعه یک حفره آبکند می‌گردد که در دراز مدت باعث ایجاد حفره‌های بزرگ در محل دماغه آبشنکن شده و احتمال شکست سازه را به نیبال خواهد داشت. اگرچه تاکنون در اغلب موارد از آبشنکن‌های تیغه‌ای استفاده شده است ولی با این حال آبشنکن‌ها با شکلهای مختلف دماغه نیز کاربردهایی داشته و دارند. از جمله این گروه آبشنکن‌ها می‌تبه آبشنکن‌های تیغه‌ای، سرسپری، L شکل اشاره کرد که در شکل ۱ نشان داده شده است.



شکل ۱- تقسیم بندی آبشنکنها از نظر شکل هندسی

رودخانه‌ها در مسیر تکاملی خود همواره دستخوش تغییر و تحول و دگرگونی بوده‌اند. فرسایش جداره‌ها و بستر رودخانه و رسوب‌گذاری در قسمت‌های دیگر از جمله این تغییرات می‌باشند. از جمله روش‌های حفاظت سواحل، ساخت سازه‌هایی است که بر خطوط جریان تاثیر گذاشته و موجب انحراف آنها از دیواره‌های فرسایش‌پذیر به قسمت‌های میانی رودخانه می‌شود و یا با کاهش سرعت از شدت برخورد جریان با دیواره‌ها کاسته و توانایی رسوب‌گذاری جریان را افزایش می‌دهند، که ساخت انواع آبشنکن از این روشها است. آبشنکن‌ها، سازه‌هایی هستند که بصورت عرضی از ساحل رودخانه به طرف وسط آن تا فاصله‌ای امتداد می‌یابند. احداث سازه‌هایی نظیر آبشنکن در مقابل جریان، باعث ایجاد جریان آشفته‌ی چرخشی و گردانی در اطراف آن

۱- دانشجویی کارشناسی ارشد و دانشیار گروه سازه‌های آبی، دانشکده مهندسی علوم آب، دانشگاه شهید چمران اهواز

۲- نویسنده مسئول: Email:kermannezhad@gmail.com

۳- استادیار گروه مهندسی آب، دانشکده مهندسی کشاورزی، دانشگاه گلستان

۴- دانشجویی کارشناسی ارشد مدیریت سوانح طبیعی، دانشکده مدیریت سوانح طبیعی، دانشگاه تهران

سنگ ۱/۹ سانتی تخلخل ۳۱ درصد با ۲/۵۴ سانتی سنگ تخلخل ۴۵ درصد و با مخلوط سنگ ۱/۹ و ۲/۵۴ سانتی تخلخل ۴۹ درصد ساخته شده است. بنابراین به ترتیب زیر تخلخل موثر (فضای خالی مرتبط به هم) از راست به چپ افزایش میابد.

تخلخل %۴۰ > تخلخل %۳۱ > تخلخل %۴۹ > تخلخل %۴۵
ابعاد گاییون های استفاده شده در این آزمایشات ۸×۸ سانتی متر و ضخامت آنها ۴ سانتی متر است که بصورت غیر مستغرق میباشند. قطر ذراتی که در اطراف آشکن ریخته شده برابر ۱/۵ میلیمتر است.

آنالیز ابعادی

پارامترهای متعددی در عملکرد آب شکن ها و آب شستگی اطراف دماغه آنها موثر میباشد. به منظور یافتن رابطه بین عوامل موثر بر آب شستگی در دماغه آشکن های L شکل، آنالیز ابعادی روی پارامترهای موثر انجام شده است. پارامترهای موثر در این زمینه عبارتند از:

- عوامل هندسه کanal: عرض کanal در مقطع قبل از آشکن (B₁), عرض کanal در مقطع تنگ شده (B₂) .
- عوامل هندسه آب شکن: طول آب شکن (L)، طول زبانه آشکن (L_b), زاویه زبانه آب شکن با محور آب شکن (θ)، تخلخل آشکن (n)
- عوامل هیدرولیک جریان: سرعت متوسط جریان (U)، سرعت جریان عبوری از آشکن (V)، عمق جریان (h)، عمق آب شستگی در دماغه آشکن (ds)، شتاب تقلیل (g)، شیب هیدرولیکی (S).
- عوامل مربوط به اندازه رسوبات بستر: قطر متوسط (d₅₀)، چگالی مصالح (Gs)، سرعت آستانه حرکت رسوبات بستر (U_h).
- خواص سیال: جرم مخصوص سیال (ρ)، لزجت دینامیکی (μ).

با انتخاب d_s به عنوان متغیر و استه، رابطه ۱ بدست می آید.

$$(1) \quad d_s = f_2(\theta, n, S, \frac{B_1}{h}, \frac{B_2}{h}, \frac{L}{h}, \frac{L_b}{h}, \frac{U}{U_c})$$

 با انتخاب ρ, h, U به عنوان پارامترهای تکراری و با استفاده از روش π باکینگهام، پارامترهای بی بعد به صورت رابطه ۲ بدست می آید.

$$(2) \quad \frac{U}{V}, Re, Fr, F_0 = \frac{U}{\sqrt{g(G_s - 1)d_{50}}}$$

با توجه به اینکه قطر متوسط مصالح بستر در تمام آزمایشها یکسان بود و اثر پارامتر سرعت در فرود جریان لحاظ شده است، بنابراین F₀ (فرود ذره) از متغیرهای بی بعد موثر کنار گذاشته شد. همچنین با فرض آشفته بودن جریان از پارامتر Re نیز صرفنظر

یکی از شاخص های مهم در تعیین مشخصات حفره ای آب شستگی، حداکثر عمق آب شستگی می باشد. عمدۀ تحقیقات گذشته بر روی آب شکن های تیغه ای انجام گرفته است. ذیلا به برخی از مهمترین تحقیقات صورت گرفته برروی موضوع انواع آب شکن ها اشاره شده است:
 احمد (۲) با مطالعه برروی آب شکن های سرسپری منفرد نشان داد که آب شکن های سرسپری در مقایسه با آب شکن تیغه ای از نظر میزان مصالح مصرفی اقتصادی تر هستند. ایزارد و برادلی (۴) بیان داشتند که اندازه رسوبات فقط بر روی سرعت گسترش آب شستگی اثر گذاشته و تاثیری بر روی حداکثر عمق آب شستگی ندارد. گاردی و همکاران (۳) آزمایشاتی با ۴ اندازه آشکن انجام داد، براساس یافته های این محقق عدد فرود یک پارامتر مهم بر روی آب شستگی ناشی از تنگ شدگی می باشد. همچنین لیو و همکاران (۶) اعلام کرد که سرعت متوسط جریان از پارامترهای مهم در حرکت رسوبات می باشد. زاگلول (۸) آزمایشاتی برای یافتن اثرات شرایط جریان بالا درست، خصوصیات رسوبات و شکل آشکن بر روی حداکثر عمق آب شستگی انجام داده است. کوهنل و همکاران (۵) تحقیقاتی بر روی توپوگرافی گودال ایجاد شده در اطراف آشکن ۹۰° انجام داده اند، بنا به گزارش این محققین محل ایجاد حداکثر فرسایش از بالا درست آب شکن به پایین دست آب شکن تغییر مکان می دهد. صانعی (۷) آزمایشاتی به منظور یافتن اثر درصد انسداد بر عمق آب شستگی ناشی از آب شکن تیغه ای انجام داده است. براساس مطالعات این محقق هرچه درصد انسداد بیشتر باشد عمق آب شستگی بیشتر می شود. مروری بر تحقیقات گذشته نشان می دهد که اکثر تحقیقات بر روی آب شکن های تیغه ای نفوذ ناپذیر استوار بوده و از آنجا که مقدار جریان عبوری از درون آب شکن باز (محیط متخلف) تاثیر بسزایی بر جریان های گردابی و به تبع آن میزان آب شستگی اطراف آب شکن دارد لذا ضروری است تا تحقیق بر روی آب شکن های L شکل نفوذ نپذیر انجام شود. در این تحقیق، با انجام مطالعات آزمایشگاهی بر روی این گونه آب شکن ها در مسیر مستقیم، حداکثر عمق آب شستگی برای تخلخل های مختلف و به ازای دبی های مختلف بررسی گردیده است.

مواد و روش ها

گاییون

جهت ساخت گاییون به این صورت عمل می شود که به ازای تخلخل مورد نظر با مشخص بودن حجم هر توری، حجم سنگ مورد استفاده محاسبه می شود، با مشخص بودن چگالی سنگ میتوان وزن سنگ مورد استفاده در هر گاییون را بدست آورد سپس آنقدر به گاییون سنگ اضافه میکنیم تا به وزن تعیین شده برسد. جهت ساخت گاییون از قطر سنگ های ۱/۲۷، ۱/۹ و ۲/۵۴ سانتی متری استفاده شده است. به این ترتیب که با سنگ ۱/۲۷ سانتی تخلخل ۴۰ درصد، با

حالات آب زلال فراهم گردید و پس از شرایط تعادل نسبی، حداکثر عمق آبشنستگی در دماغه آبشنکن اندازه گیری شد. به منظور فراهم آوردن شرایط آب زلال برای آزمایشات، ابتدا آزمایشاتی برای تعیین سرعت بحرانی (U_c) رسوبات بستر ترتیب داده شد، به این ترتیب که به ازای دبی های مختلف، عمق جریان با دریچه انتهایی را تغییر داده و عمقی که در آن لرزش و حرکت جزیی دانه های رسوب مشاهده شد، برداشت و از روی آن سرعت بحرانی محاسبه شد. در جدول ۱ به ازای دبی های مختلف مشخصات هیدرولیکی جریان آورده شده است.

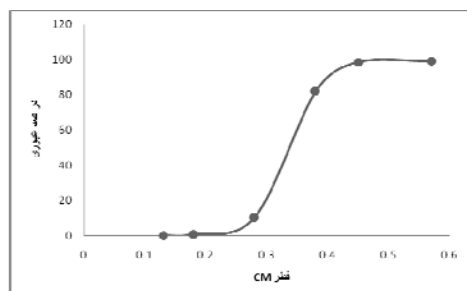
U_c/U در این آزمایشات برابر $95/0$ در نظر گرفته شده است.

زمان تعادل

به منظور یافتن زمان تعادل نسبی نیز آزمایشات جداگانه ای انجام پذیرفت. نحوه انجام این آزمایشات به این صورت بود که عمق آبشنستگی در زمانهای مختلف ثبت شده و سپس از روی منحنی رسم شده، زمان تعادل نسبی تعیین گردیده است. اندازه گیری عمق آبشنستگی براساس زمانهای ای

۱۸۰	۲۴۰	۳۶۰	۵۴۰	۱۰۵۰	۱۲۰۰	۱۵۰۰	۲۰۰۰	۳۰۰۰	۴۰۰۰
دقيقه									

است، گسترش عمق آبشنستگی در آبشنکن نشان می دهد که پس از مدت زمانی، گسترش آبشنستگی کند شده و این زمانی است که به عنوان زمان تعادل نسبی برای تمام آزمایشات درنظر گرفته شد. در شکل ۴ نمودار زمان تعادل نشان داده شده است. کاهش سرعت آبشنستگی از زمان 180 دقیقه به بعد رخ میدهد بنابراین این مدت به عنوان زمان تعادل در نظر گرفته می شود.



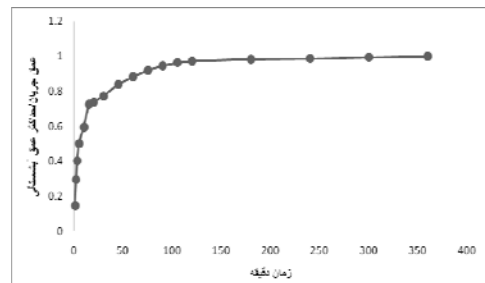
شکل ۳- تعیین عمق آبشنستگی با زمان جهت تعیین زمان تعادل

گردید، از طرفی مقدار زاویه زبانه آبشنکن با محور آبشنکن (θ)، طول آبشنکن (L)، طول زبانه آبشنکن (L_1)، عرض کanal در مقطع قبل و محل آبشنکن (B_1 و B_2) و شبکه کف (S) ثابت میباشد و در کل آزمایشات $U_c/U = 95/0$ در نظر گرفته شده است، بنابراین رابطه 3 بدست می آید:

$$\frac{d_s}{h} = f_2(n, Fr, \frac{U}{V}) \quad (3)$$

امکانات آزمایشگاهی

آزمایش ها در فلوم آزمایشگاهی گروه مهندسی آب دانشگاه علوم کشاورزی و منابع طبیعی گرگان که دارای طول $10/8$ متر، عرض و عمق $6/0$ متر بود انجام شده است. شبکه بستر $0/001$ در نظر گرفته شده است. مصالح بستر با دانه بندی یکنواخت با $d_{50} = 1/5$ و $S_g = 12/5$ است. انتخاب گردیده و در شکل ۳ نمودار دانه بندی نشان داده شده است. آندازه گیری عمق با استفاده از ترازو سنج دیجیتال با دقت $0/1$ میلیمتر استفاده شده است. آبشنکن مورد استفاده در این تحقیق نفوذپذیر (باز) و معتمد بوده که بصورت غیر مستغرق استفاده شده است. عمق جریان در پایین دست توسط دریچه ای در انتهای فلوم و یک سرریز لبه تیز استاندارد تنظیم می شود. آزمایشات در یک بازه 2 متری که بین دو سکوی فلزی از رسوبات پوشیده شده بود، انجام شد. فاصله محل مورد نظر تا ابتدای کanal $5/50$ متر درنظر گرفته شد تا اغتشاش محتمل در ورودی به محل آبشنکن نرسد، که مشاهده جریان وجود یک جریان کاملاً توسعه یافته را تایید کرد. سپس به ازای دبی های مختلف جریان و با تغییر ارتفاع آب درون کanal شرایط فرسایش در



شکل ۲- دانه بندی رسوبات

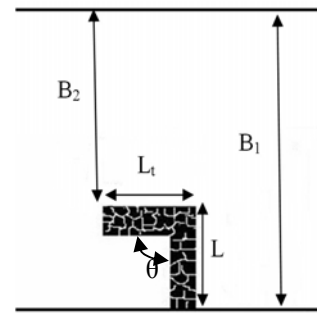
جدول ۱- مشخصات هیدرولیکی جریان

	$Q=15$ (lit/sec)	$Q=20$ (lit/sec)	$Q=25$ (lit/sec)	$Q=35$ (lit/sec)
عمق بحرانی cm	۸	$9/6$	$12/7$	$14/6$
سرعت بحرانی m/sec	$0/328$	$0/365$	$0/345$	$0/42$
عمق تنظیم شده جهت آزمایش cm	$8/4$	$10/1$	$13/3$	$15/3$

نوع سازه و سایر مشخصات فنی مربوط، الگوهای متفاوتی از جریان در دماغه آبشکن پدیدار می‌گردد (۸). جریان گردابی در بالادست آبشکن به دو دسته تقسیم می‌شود، که یک جریان به سمت سطح آب و دیگری به سمت کف در حرکت می‌باشند، این مطلب در شکل ۷ نشان داده شده است برای مشاهده این مسئله از روابهای رنگی که در اعماق مختلف جریان قرار گرفته، استفاده شده است، روابهای در بالادست آبشکن و در فاصله کمی از آن قرار دارند روابان (۱) در سطح جریان، روابان (۲) در وسط و روابان (۳) در کف جریان گرفته است. که جریان چرخشی به سمت کف، توسط روابان (۱) مشخص شده است و جریان چرخشی به سمت سطح توسط روابان (۱) مشخص شده است و همانطور که در شکل ۷ مشخص است جهت قرار گرفتن روابان (۱) در خلاف جهت روابهای (۲) و (۳) است. در شکل ۵ و ۶ نیز جریان‌های گردابی در بالادست و پایین دست آبشکن از نمای بالا نشان داده شده است. فلاش جهت حرکت جریان را نشان میدهد.

جدول ۲- شرایط هیدرولیکی و هندسی آزمایش

پارامتر	محدوده تغییرات
دبی جریان (Q)	lit/sec ۳۵-۲۵-۲۰-۱۵
عمق جریان در بالادست (h)	cm ۱۵/۳-۱۳/۳-۱۰/۱-۸/۴
سرعت جریان در بالادست (U)	m/sec ۴/۰-۰/۳۳۵-۰/۳۵-۰/۳۲
طول آبشکن (L)	۸ cm
طول زبانه آبشکن (L _۱)	۸ cm
(Fr)	۰/۳۵-۰/۳۴-۰/۳۲-۰/۳
(d _{۵۰})	۱/۵ mm
(n)	اندازه ذرات رسوبی (n)
	تخلخل (n)
	%۴۹-۴۵-۴۰-۳۱



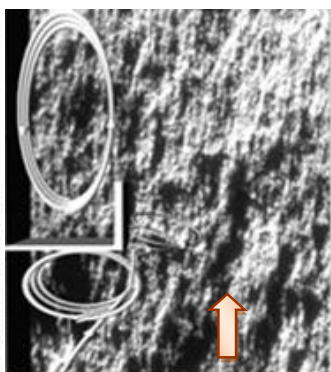
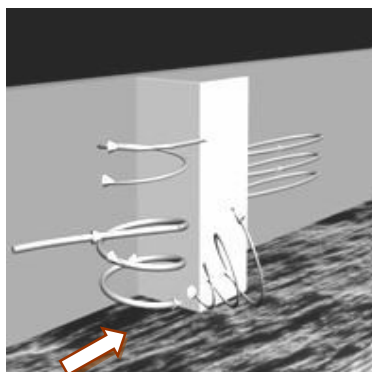
شکل ۴- نمایی شماتیک از قرار گیری آبشکن در فلوم

نحوه انجام آزمایشات

ابتدا سطح بستر صاف شده و دریچه انتهای کanal بسته شده و آب کم از ابتدای کanal وارد گشته تا ارتفاع آب روی رسوبات به افزایش یابد، برای اینکه رسوبات در کل منطقه مورد آزمایش به حرکت در نماید، حال بصورت تدریجی دی به مقدار موردنظر رسانده شده و سپس عمق تعیین شده با تنظیم دریچه انتهایی برقرار می‌گردد و زمان آزمایش شروع می‌شود. در خلال آزمایش‌ها، مشاهدات ثبت و پس از ۱۸۰ دقیقه آزمایش متوقف و آب درون فلوم کم زهکشی شده و حداکثر عمق آبستگی و همچنین توپوگرافی بستر با استفاده از ترازوستنگ دیجیتال برداشت شده است. در مجموع تعداد ۳۲ آزمایش با شرایط ذکر شده در جدول ۲ به ازای زبانه آبشکن رو به پایین دست و بالادست انجام گردید.

الگوی جریان اطراف آبشکن

آبشکنها با کاهش مقطع رودخانه، الگوی جریان را بطور محسوسی تحت تاثیر قرار می‌دهند. خطوط جریان با نزدیک شدن به سازه آبشکن آرایش خود را تغییر داده و به تبعیت از ساختار هندسی،



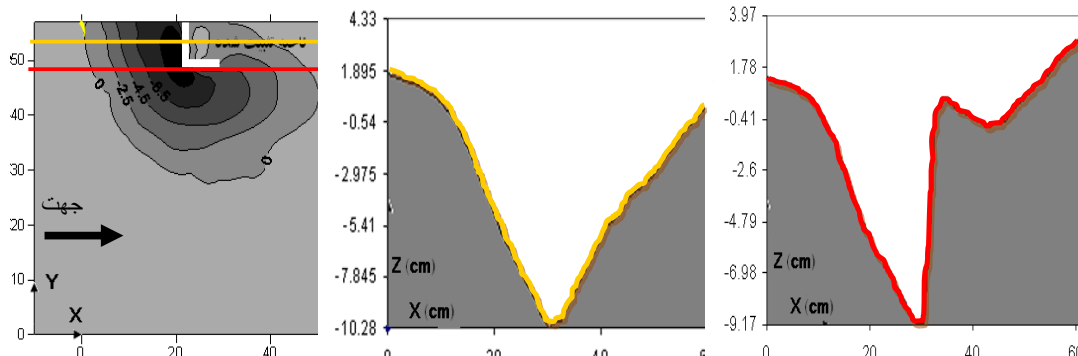
شکل ۵- پلان جریان چرخشی در بالادست آبشکن
شکل ۶- جریان چرخشی به صورت شماتیک
و پایین دست آبشکن

شکل ۷- مشاهده جریان چرخشی در
بالادست آبشکن

آبشنکن ثبیت می‌شود، در این نوع از آبشنکن حداکثر عمق آبشنستگی در دماغه آبشنکن یعنی محل اتصال زبانه آبشنکن با محور آبشنکن اتفاق می‌افتد. شکل (۸-۹) نیز ناحیه فرسایش یافته در اطراف آبشنکن با زبانه به سمت بالا دست به همراه خطوط تراز نهایی را نشان میدهد و شکلهای (۸-۹-ب) و (۸-۹-ج) مقطع طولی آبشنستگی را نشان میدهد. در آبشنکن L شکل با زبانه به سمت بالا دست، گسترش آبشنستگی به علت گسترش ناحیه گردابه‌ای بالا دست به سمت بالا دست بیشتر می‌باشد و پایین دست آبشنکن نیز به علت عدم حفاظت تحت فرسایش قرار می‌گیرد، حداکثر عمق فرسایش نیز بالا دست آبشنکن، در محدوده بین زبانه آبشنکن و جداره فلوم مشاهده شده است.

الگوی آبشنستگی در اطراف آبشنکن

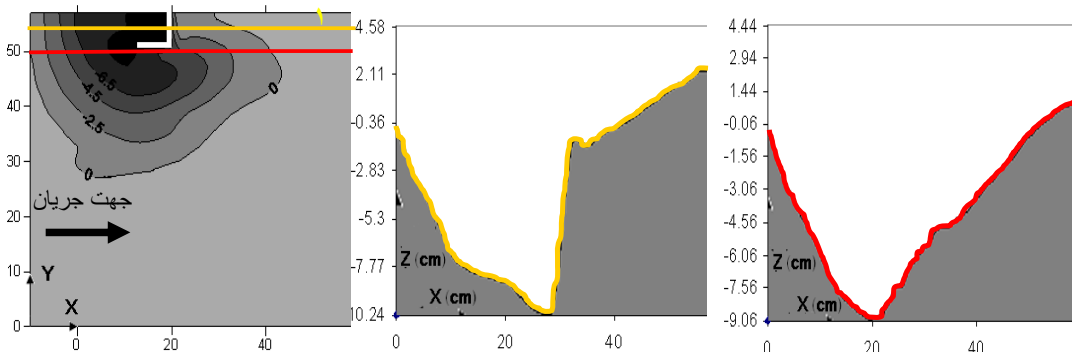
ایجاد فرسایش در دماغه آبشنکن و همچنین رسوبگذاری در پایین دست آبشنکن از نوع و الگوی جریان پیروی می‌کند. در شکلهای ۸ مدل مفهومی الگوی جریان با استفاده از مشاهدات آزمایشگاهی ترسیم شده است. در شکل (۸-الف) ناحیه فرسایش یافته در اطراف آبشنکن با زبانه به سمت پایین دست به همراه خطوط تراز نهایی نشان داده شده است. در شکلهای (۸-ب) و (۸-ج) مقطع طولی آبشنستگی در محل خطوط ۱ و ۲ (در شکل (۸-الف) مشخص شده) نشان داده شده است. با توجه به شکل (۸-الف) در ناحیه پشت آبشنکن رسوب گذاری رخ داده و باعث تثبیت این ناحیه شده است. در آبشنکن L شکل با زبانه به سمت پایین دست گسترش آبشنستگی به سمت بالا دست زیاد نبوده و پایین دست آبشنکن نیز به علت وجود زبانه



شکل ۸-الف- پلان و خطوط تراز آبشنستگی در حالت زبانه به سمت پایین دست

شکل ۸-ب- پروفیل طولی آبشنستگی در مقطع ۱ در حالت زبانه به سمت پایین دست

شکل ۸-ج- پروفیل طولی آبشنستگی در مقطع ۲ در حالت زبانه به سمت پایین دست



شکل ۹-ج- پروفیل طولی آبشنستگی در مقطع ۲ در حالت زبانه به سمت بالا دست

شکل ۹-ب- پروفیل طولی آبشنستگی در مقطع ۱ در حالت زبانه به سمت بالا دست

مفید است، سرعت جریان عبوری از آبشکن با استفاده از دستگاه اندازه گیری آبگذری با بار ثابت محاسبه شده است، به این صورت که گاییون را در محفظه دستگاه قرار داده و سپس هد ثابت آب روی محفظه ایجاد شده و با اندازه گیری هد آب روی محفظه و حجم آب عبوری در زمان و سطح عبوری جریان، آبگذری گاییون محاسبه شده است. با توجه به شکل ۱۱ مشاهده میشود در حالت آبشکن با زبانه رو به پایین دست کمترین مقدار آبشنستگی در محدوده سرعتی (سرعت جریان عبوری از داخل آبشکن) $8/75 \text{ cm/s}$ (cm/s) یا به عبارتی تخلخل $40 \text{ درصد تا } 49 \text{ درصد و بیشترین آبشنستگی در تخلخل } 31 \text{ درصد رخ داده است. همچنین با افزایش تخلخل از } 45 \text{ درصد تا } 49 \text{ درصد آبشنستگی روند کاهشی داشته و با کاهش تخلخل از } 49 \text{ درصد تا } 31 \text{ درصد آبشنستگی روند افزایشی دارد. شکل ۱۰ نمایی شماتیک از آبشکن با زبانه به سمت پایین دست را نشان میدهد.}$

علت این روند را میتوان اینگونه بیان نمود، در حالت زبانه آبشکن به سمت پایین دست با برخورد جریان به آبشکن در دماغه آبشکن جریان ها گردابی تشکیل گردیده و با برخورد به کف باعث آبشنستگی در دماغه آبشکن میگردد در ابتدا با افزایش سرعت جریان عبوری از آبشکن جریان های گردابی کمتری در دماغه و اطراف آبشکن بوقوع می پیوندد و به همین علت نسبت d_s/h کاهش میابد تا به حدی مینیممی برسد ولی پس از آن با افزایش سرعت آبگذری (بزرگتر شدن منافذ گاییون ها) نسبت d_s/h افزایش میابد زیرا با بزرگتر شدن منافذ جریان های گردابی که از داخل گاییون عبور میکنند با افت کمتری مواجه شده و فرسایش افزایش میابد، علت تفاوت های شکل های (۱۱) الف تا (د) به دلیل اختلاف در عدد فروود جریان داخل کانال و به تبع آن تشکیل جریان گردابی با شدت های متفاوت میباشد.

تأثیر تخلخل بر میزان آبشنستگی

جهت بررسی تأثیر مقدار تخلخل بر حداکثر عمق آبشنستگی در ابتدا نسبت حداکثر عمق آبشنستگی به عمق جریان (d_s/h) در مقابل مقدار تخلخل (n) آبشکن رسم گردید که رابطه منطقی بین این دو پارامتر مشاهده نشد، زیرا برای رسیدن به تخلخل های مختلف از قطر سنگهای مختلفی در آبشکن استفاده شده به عنوان مثال برای ساخت گاییون با تخلخل $40 \text{ درصد از سنگ با قطر } 1/27 \text{ سانتی متری استفاده شده در حالی که برای گاییون با تخلخل } 30 \text{ درصد از سنگ با قطر } 1/9 \text{ سانتی متری استفاده شده است، با مقاسه میزان آبشنستگی در این دو نوع آبشکن مشاهده میشود، علی رغم اینکه تخلخل از } 30 \text{ درصد به } 40 \text{ درصد افزایش پیدا کرده میزان آبشنستگی افزایش داشته و این موضوع را میتوان اینگونه توجیه کرد که چون قطر سنگ کمتر شده منافذ بیزتر شده و به عبارت دیگر تخلخل مفید (مقدار فضای خالی مرتبط به هم) کاهش یافته و مقدار افت بیشتر شده که باعث میشود مقدار جریان عبوری از آبشکن کاهش یافته و جریان گردابی قوی تری شکل گیرد و آبشنستگی افزایش یابد. به همین علت برای بررسی تأثیر تخلخل بر آبشنستگی مقدار آبگذری آبشکن ها با استفاده از آزمایش بار ثابت اندازه گیری شده و نسبت حداکثر عمق آبشنستگی به عمق جریان در مقابل سرعت آبگذری هر آبشکن رسم شده است. سرعت آبگذری در گاییون ها با تخلخل های مختلف در جدول شماره ۳ آورده شده است. مصالح بستر با دانه بندی یکنواخت با $d_{50}=1,5 \text{ mm}$ و $\sigma_g=1,2$ انتخاب گردیده است.$

نمودارهای (d_s/h)-(n) و (v)-(n)

حالت آبشکن با زبانه به سمت پایین دست

(v) سرعت جریان عبوری از آبشکن و (n) تخلخل معمولی (غیر

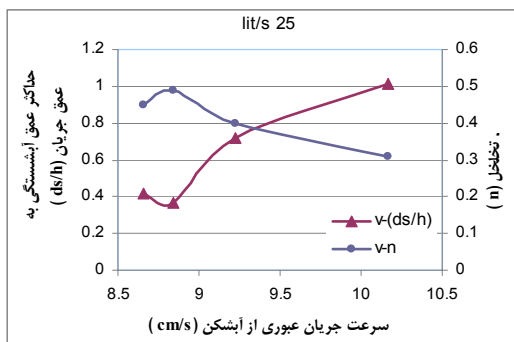
جدول ۳- سرعت جریان عبوری از گاییون ها با تخلخل های مختلف

خلخل گاییون	سرعت جریان عبوری (cm/s)
% ۴۹	% ۴۵
۸/۸	۸/۷
% ۴۰	% ۳۱
۹/۲	۱۰/۲

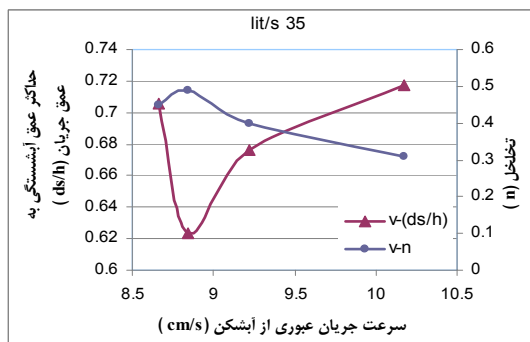
جریان \rightarrow



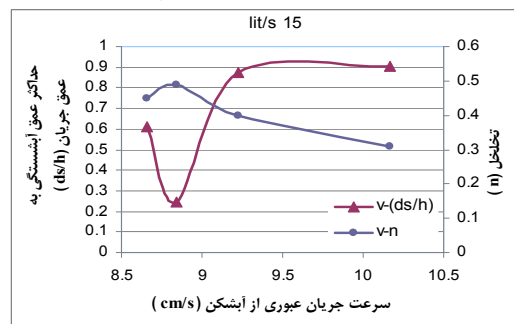
شکل ۱۰- نمایی شماتیک آبشکن با زبانه به سمت پایین دست



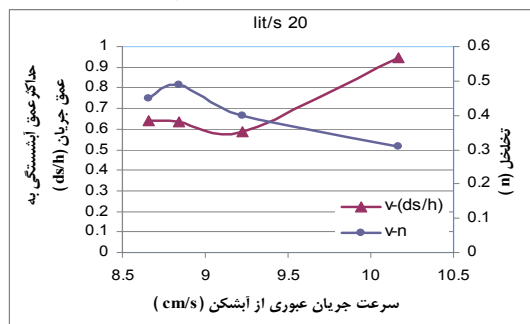
شکل ۱۱-ج- تغییرات عمق آبشنستگی و تخلخل با سرعت آبگذری در دبی ۲۵



شکل ۱۱-الف- تغییرات عمق آبشنستگی و تخلخل با سرعت آبگذری در دبی ۳۵



شکل ۱۱-ب- تغییرات عمق آبشنستگی و تخلخل با سرعت آبگذری در دبی ۲۰



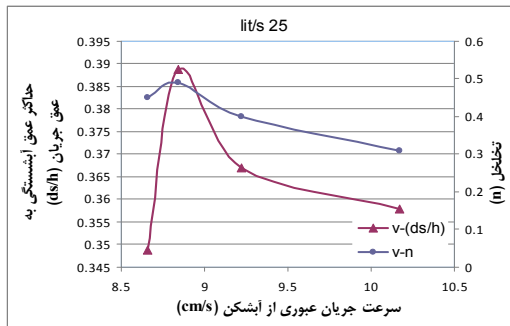
شکل ۱۱-د- تغییرات عمق آبشنستگی و تخلخل با سرعت آبگذری در دبی ۱۵

رخ داده است. با مقایسه نتایج حالت زبانه به سمت پایین دست با حالت زبانه به سمت بالا دست مشاهده می شود که روند آبشنستگی در این دو حالت مختلف می باشد، در آبشکن با زبانه به سمت پایین دست در ابتدا با افزایش سرعت آبگذری نسبت h/d افزایش یافته و به یک ماکریم رسیده و سپس روندی نزولی دارد. عمدۀ دلیل این تفاوت را میتوان به هندسه آبشکن و نحوه قرار گیری زبانه آبشکن نسبت داد زیرا دلیل اصلی آبشنستگی وجود جریان های گردابی می باشد که این گردابه ها نیز به مقدار زیادی موثر از شکل آبشکن است.

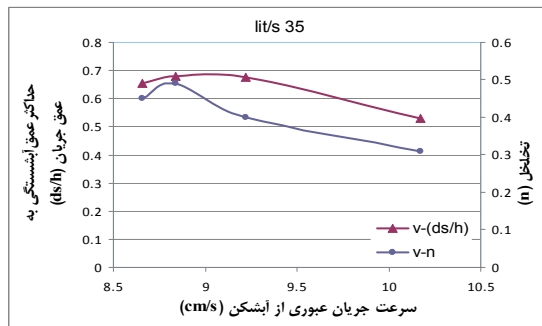
حالت آبشکن با زبانه به سمت بالا دست: در این حالت همانطور که در شکل ۱۲ نشان داده شده آبشکن طوری در محل قرار میگیرد که زبانه آن رو به بالا دست فلوم باشد. براساس شکل ۱۳ در حالت آبشکن با زبانه رو به بالا دست، با افزایش تخلخل از ۳۱ درصد تا ۴۹ درصد آبشنستگی روند افزایشی داشته و با افزایش تخلخل از ۴۵ تا ۴۹ درصد آبشنستگی روند کاهشی دارد و بیشترین میزان آبشنستگی در محدوده سرعتی (سرعت جریان عبوری از داخل آبشکن) ۸/۷۵ تا ۹/۳ (cm/s)، یا به عبارتی تخلخل ۴۰ درصد تا ۴۹ درصد



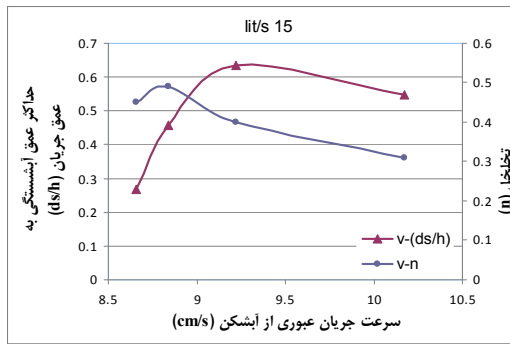
شکل ۱۲- نمایی شماتیک آبشکن با زبانه به سمت بالا دست



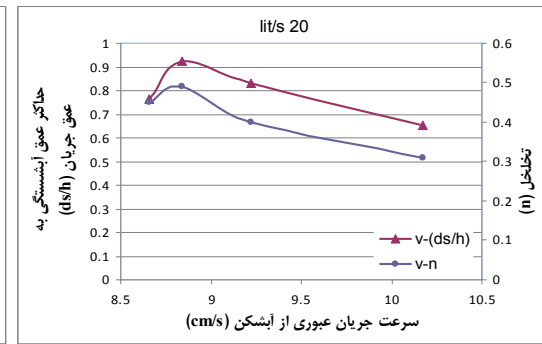
شکل ۱۳-ب- تغییرات عمق آبستگی و تخلخل با سرعت آبگذری در دبی ۲۵



شکل ۱۳-الف- تغییرات عمق آبستگی و تخلخل با سرعت آبگذری در دبی ۳۵



شکل ۱۳-ج تغییرات عمق آبستگی و تخلخل با سرعت آبگذری در دبی ۱۵

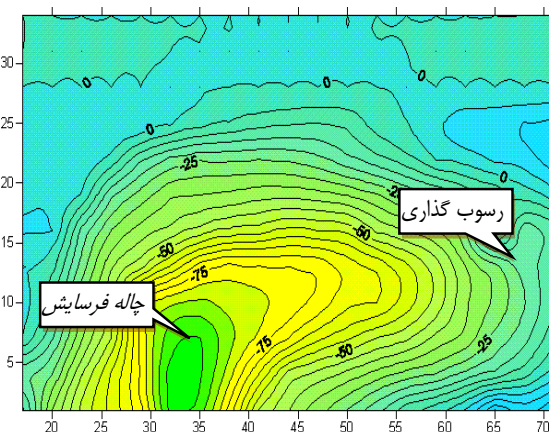


شکل ۱۳-د تغییرات عمق آبستگی و تخلخل با سرعت آبگذری در دبی ۲۰

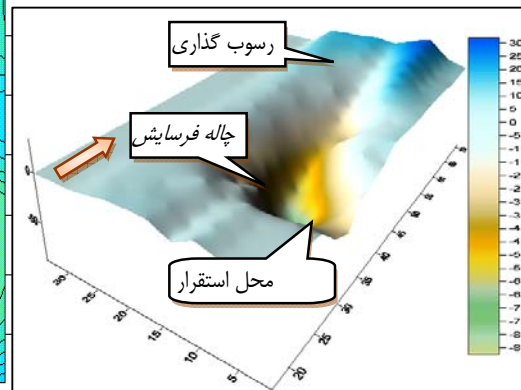
گذاری میباشد. بعد از اینکه رسوبات بستر از اطراف آبشکن برداشته شد به منطقه پایین دست آبشکن انتقال میابند. در شکل ۱۴ مناطق فرسایش یافته، رسوب گذاری شده و محل استقرار آبشکن مشخص گردیده است. در شکل ۱۵ خطوط هم تراز اطراف آبشکن پس از طی زمان تعادل نشان داده شده است.

توبوگرافی آبستگی اطراف آبشکن

پس از اینکه زمان تعادل ۳ ساعته به پایان رسید با استفاده از تراز سنج دیجیتال مختصات نقاط از ۳۰ سانتیمتر قبل تا ۷۵ سانتیمتر بعد از آبشکن در عرض فلوم برداشت شده و سپس توبوگرافی اطراف آبکن رسم شده است. شکل ۱۴ نمونه ای از این توبوگرافی را نشان میدهد. اعداد منفی نشانه آبستگی و اعداد مثبت بیان کننده رسوب



شکل ۱۴- توبوگرافی اطراف آبشکن پس از زمان تعادل



شکل ۱۵- خطوط هم تراز اطراف آبشکن

با افزایش میزان جریان عبوری از داخل آبشنکن جریان چرخشی که عامل اصل آبشنستگی است با کمتر بوجود آمده در نتیجه مقدار آبشنستگی کاهش میابد. در این مطالعه کمترین میزان آبشنستگی به ازای تخلخل $49 - 40$ درصد رخ داده است.

حداکثر عمق آبشنستگی ایجاد شده در آبشنکن L شکل با زبانه به سمت پایین دست، در محل تلاقی زبانه با محور آبشنکن (دماغه آبشنکن) مشاهده شد.

در آبشنکن با زبانه به سمت بالا دست با افزایش میزان آبگذری میزان آبشنستگی اطراف آبشنکن نیز افزایش میابد به طوری که در تخلخل $40 - 49$ درصد بیشترین میزان آبشنستگی اتفاق می افتد. در این حالت حداکثر عمق آبشنستگی در فاصله بین زبانه و دیواره فلوم رخ میدهد.

نتیجه گیری

میزان آبشنستگی اطراف آبشنکن کاملاً به جریان های گردابی بوجود آمده اطراف آن وابسته است یعنی هر چقدر آبشنکن مقدار بیشتری در خطوط جریان تغییر بوجود آورده و گردابه های شدید تری بوجود بیاورد میزان آبشنستگی افزایش میابد.

در حالت آبشنکن با زبانه به سمت پایین دست با افزایش تخلخل از 45 درصد به 49 درصد عمق آبشنستگی کاهش میابد و از تخلخل 50 درصد تا 30 درصد روند آبشنستگی افزایشی است بصورتی که در محدوده تخلخل 40 درصد تا 49 درصد کمترین مقدار آبشنستگی و در تخلخل 30 درصد بیشترین مقدار آبشنستگی مشاهده شده است. در این آبشنکن میزان آبشنستگی به مقدار زیاد به میزان آبگذری آبشنکن وابسته است، به طوری که با افزایش میزان آبگذری در آبشنکن با زبانه به سمت پایین دست مقدار آبشنستگی اطراف آن به میزان قابل ملاحظه ای کاهش میابد، که علت آن را میتوان اینگونه بیان کرد که

منابع

- ۱- شفاعی بجستان م. ۱۳۸۷. هیدرولیک انتقال رسوب، انتشارات دانشگاه شهید چمران (اهواز).
- 2- Ahmad M. 1951. Spacing and projection of spurs for bank protection. Civil Engineering and Public Work Review, London, U. K. March, pp.172-174
- 3- Garde R.J., Subramanya K., Nambudripad K.D. 1961. Study of scour around spur dikes. ASCE Journal of the Hydraulics Division, 87(HY6), pp.23-37.
- 4- Izzard and Bradley. 1957. Field verification of model tests on flow through highway bridges and culverts. Proceedings, 7th Hydraulic Conference, Iowa.
- 5- Kuhnle R.A., Alonso C.V., Shields F.D. 1999. Geometry of scour holes associated with 90-degree spur dikes. Journal of Hydraulics Engineering vol 125 no 9 Sep. 1999, ASCE, pp.972-978.
- 6- Liu M.K., Chang F.M., Skinner M.M. 1961. Effect of bridge construction on scour and backwater. Report No. CER60-HKL22, Department of Civil Engineering, Colorado State University, Fort Collins, Colorado.
- 7- Saneie M. 2006. Experimental Study on River Closure Effect on Spur dike Scouring. 7th International River Engineering Conference, Ahwaz. In Persian, pp. 354-363.
- 8- Zaghloul N.A. 1983. Local scour around spur-dikes. Journal of Hydrology, 60 (1983) pp.123-140.

Investigation of Effect Porosity on Scour Depth Around L-head Groins with Clapper Toward Downstream and Upstream under Clear Water Condition

J. Kermannezhad^{1*} - M. Fathi Moghadam²- A.A. Dehghani³- M. Mahmoodian⁴

Received:23-6-2010

Accepted:8-1-2011

Abstract

The groines are structures which are used to protect the river bank and to form the water way .The most important problem of groynes is scour at around it that makes breaking and overturning the groynes. Because of the less researches at about L-head groynes and open groynes ,this article considers the amount of scour in this type of groynes. So because of this have been used the lace gabions full of rock for producing the open groynes and considered effect the amount of porosity of gabion on scour of L-head groyne with clapper to down stream. Results show that for 40-50% of porosity, lower scour at around groin with clapper toward downstream occurs and the maximum scour around The groin with clapper toward upstream can be observed.

Keywords: L-head, Groyne, Gabion, Scour, Clear water

1,2- MSc Student and, Associate Professor Department of Water Structures, Shahid Chamran University Ahwaz
(*-Corresponding Author Email:kermannezhad@gmail.com)

3- Assistant Professor, Water Engineering Department, Faculty of Agricultural Golestan University

4- MSc Student of Natural Disaster Management, Faculty of Natural Disaster Management, Tehran University